

PFCl₂

2788-III

 PFCl_2 (bond distances and angles)

1938

Brockway L.C., Beach J.Y.

J.Am.Chem.Soc. 1938, 60, 183, 6-46

"Electron diffraction investigation
 of the molecular structures of (1) POCl_3 ,
 POF_2Cl ; POFCl_2 ; POF_3 ; PFCl_2 ; PF_5 and
 PF_3Cl_2 and of (2) disilane, trichloro-
 silane and hexachlorodisilane".

6

C.A., 1938, 7324

ECTB Ф. Н.

P

lo

1637-14

1946

ω (PFClBr, PFCl₂; PFBr₂)

Delwaulle M.L., François F.

Compt.rend. 1946, 223,
796-8

"Evidence by means of the
Raman effect of the formation
of PFClBr in the equilibrium
reaction of PFCl₂ with PFBr₂;
study of their Raman spectra".

C.A., 1947, 3369f

1547-III

PFCl₂ (V_i)

1949

Delwaulle M.L., François F.

International Colloquium on
Raman Effect., Bordeaux 1948;
J.Chim.phys., 1949, 46, 89-97
(in French)

Raman spectra of phosphorus
trihalides, phosphoryc trihalides,
and thiophosphoryl trihalides

CA., 1950, 44, 10510a

III - 2494

1962

PFCl₂ (*v*, *c*, *caclor* no^r, H-H₀, φ, \$, C)

Ven Kateswarlu K., Rajalakshmi K.V.

J. Scient. and Industr. Res.,
1962, B21, N 8, 349-351 (*ansu.*)

Urey-Bradley force field
and thermo- dynamic properties:
puramidal XYZ₂ type molecules

P^q., 1963, 7D70

10



Recd opus.

Рефлексы

PFCl₂

51.

XIII - 1725

1967

21 Б192. ИК-спектры газообразных PFCl_2 , PF_2Br и PFBr_2 . Спектры ЯМР F^{19} и P^{31} для PF_2Br и PFBr_2 и P^{31} для PFCl_2 . Müller A., Niecke E., Glemser O. IR-Spektren von gasförmigem PFCl_2 , PF_2Br und PFBr_2 . F^{19} - und P^{31} -Kernresonanzspektren von PF_2Br und PFBr_2 und P^{31} - von PFCl_2 . «Z. anorgan. und allgem. Chem.», 1967, 350, № 5—6, 256—262 (нем.; рез. англ.)

Изучены ИК-спектры газообразных PF_2Br , PFBr_2 и PFCl_2 . Для PFCl_2 полосы отнесены следующим образом: 838 см^{-1} — вал. кол. P—F, $\sim 521 \text{ см}^{-1}$ — сим. вал. кол. и антисим. вал. кол. P—Cl, 328 см^{-1} — сим. деф. кол. F—PCl₂, 268 см^{-1} — антисим. деф. кол. F—PCl₂; ИК-спектр сопоставлен с КР-спектром, в котором антисим.

x. 1967. 21



вал. кол. P—Cl соответствует полоса 496 см^{-1} , а деф. кол. Cl—P—Cl — 200 см^{-1} . В ИК-спектре PF_2Br полосы отнесены следующим образом: 858 см^{-1} — сим. вал. кол. P—F, 849 см^{-1} — антисим. вал. кол. P—F, 459 см^{-1} — вал. кол. P—Br, 391 см^{-1} — деф. кол. F—P—F, 233 см^{-1} — сим. деф. кол. $\text{F}_2\text{PB}\text{r}$, 212 см^{-1} — антисим. деф. кол. $\text{F}_2\text{PB}\text{r}$. В спектре PFBr_2 отнесены полосы при 824 см^{-1} — вал. кол. P—F, 423 см^{-1} — антисим. вал. кол. P—Br, 398 см^{-1} — сим. вал. кол. P—Br и 258 см^{-1} — сим. деф. кол. F—PB r_2 ; ИК-спектр сопоставлен с КР-спектром, в котором отнесены полосы при 220 см^{-1} — антисим. деф. кол. F—PB r_2 , и при 126 см^{-1} — сим. деф. кол. Br—P—Br. Отмечено, что в случае соединений типа PX_2Y частоты сим. деф. кол. выше, чем антисим. кол. Спектры ЯМР P^{31} и F^{19} для PF_2Br и PFBr_2 и F^{19} для PFCl_2 (симметрия C_s) сопоставлены со спектрами ЯМР PCl_3 , PF_3 и PBr_3 (симметрия C_{3v}). Хим. сдвиги сравниены относительно CF_3COOH для F^{19} и относительно H_3PO_4 для P^{31} . Отмечено, что хим. сдвиги в спектре P^{31} увеличиваются в ряду PF_3 , Pj_3 , PBr_3 , PCl_3 . В ряду PF_3 , PF_2Br , PFBr_2 в спектре P^{31} хим. сдвиги увеличиваются, а в спектре F^{19} — уменьшаются. Предположено, что в монофторидах фосфора (3+) образуется $d_\pi-p_\pi$ связь P—F. При сопоставлении ИК- и ЯМР-спектров исследованных соединений со спектрами тетраэдрич. соединений OPF_2Br , OPFBr_2 , OPF_2Cl и OPFCl_2 обнаружены различия, объясняющиеся, по мнению авторов, наличием неподеленной электронной пары у соединений фосфора (3+).

А. Я. Фридман

PFC₂

XIII-1725

1967

120308r Phosphorus-fluorine compounds. IV. Infrared spectra of gaseous PFCl_2 , PF_2Br , and PFBr_2 , ^{19}F and ^{31}P nuclear resonance spectra of PF_2Br and PFBr_2 , and ^{31}P of PFCl_2 . A. Mueller, E. Niecke, and O. Glemser (Univ. Goettingen, Ger.). *Z. Anorg. Allg. Chem.* 350(5-6), 256-62(1967)(Ger); cf. preceding abstr. IR and N.M.R. spectra of PFCl_2 , PF_2Br , in PFBr_2 were taken and assigned. The compd., δ_{P} , the resp. coupling const., δ_{F} , and the resp. coupling const. are: PFCl_2 , -224, 1326, 55.9, and 1320; PF_2Br , 218, 1395, 40.1, and 1388; and PFBr_2 , -255, 1292, 70.4 ppm., and 1301 cycles/sec.

CJTG

+ 2

C.A. 1967-66-26

PCl₂F

Nagarajen Gang.
1967

Konatki Chem.

98, N4, 1545'

Способе количественное
измерение, неизменное
до-чье и количественное
измерение синтети-
ческ изомеров фре-

PX_2Y

12

XII 205

468

X = F, Cl, Br, I, Y = Cl, Br, I, F (); cretelebag,
 $AsCl_2Br$, $AsBr_2$, Cl , $Amu. kast.$

E. Webredd I., Viz; B., Cyvius S., 20
 Mueller A., Kiebs B.

J. Mol. Struc., 1968 2(2), 158-60

Mean amplitudes of vibration for
 mixed halides of phosphorus and arsenic
 CA, 1968, 69, 16, 63 i 38n

13

XIII 436

(1962)

21. extinct / At Cl. B., As 152, Cr,
 PCl₂Br, Br₂Cl₂, PCl₃I, P₂I₂Br, P₂Cl₃,
 PCl₂F, PBr₂F, PF₂Br, PF₂I, PF₂F, PF₂Br)

Weller A., Krebs B., Grevillea I.,
 Vizi B., Cyrin S. J.

J. Maroc. Street, 1968, 2, n° 149-153/

Force constraints for mixed halides
 of phosphorus and arsenic

Proc. Roy., 1970, 1560 10 19

PCl_2F

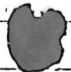
ν_i

Müller A., et al.

1968

Z. Naturforsch., 23 b,
N 5, 588.

Koordinationszustand eines
Pb u. Neopentylglyc.
ph - Yele



(s.u. PF_3) III

PF_3 ; PF_2Cl ; PFCl_2 ; PCl_3 (u.n.) XIII 2100 1973

McAdams M. J., Russell B. R.,

Chem. Phys. Lett., 1973, 18, N₃, 402-4
(cont.)

Vacuum ultraviolet spectra of
fluorine and chlorine substitu-
ted trivalent phosphorus.

10.

①

②

7

CA, 1973, 78, N₁₆, 103989u

30524.4721

TE, Ex-C, Ch

EPCh XIII-~~2290~~

41197

Skolnik Edward G., Salesi Robert J., Russ Charles R., Goodfriend P.L. Absorption and flash photolysis kinetic spectroscopy studies on difluoro-, chlorodifluoro-, dichlorofluoro-, and tetrafluorophosphine. "J. Phys. Chem.", 1973, 77, N9, 1126-1128
(англ.)

865 867 972

0879 дик ! винити

С.Л. ТАКТИЧЕСКАЯ РПС : III

PFC₂

от 30.9.81

1988

16 Д51. Коэффициенты кориолисова взаимодействия и постоянные центробежного искажения для некоторых пирамидальных молекул XYZ_2 . Coriolis coupling constants and centrifugal distortion constants of some pyramidal XYZ_2 molecules / Mohan S., Durai S. // Proc. Indian Nat. Sci. Acad. A.— 1988.— 54, № 1.— С. 76—83.— Англ.

С применением методики Цивина найдены коэф. кориолисова взаимодействия (ККВ) и постоянные центробежного искажения (ПЦИ) для ряда пирамидальных молекул типа XYZ_2 ($X=P$; $Y, Z=F, Cl, Br, I$). В расчетах использованы значения среднеквадратичных амплитуд колебаний и силовых постоянных, найденные для изучавшихся молекул ранее // Proc. II math. Conf. Vibr. Spectrosc.— 1985.— С. 87. Отмечено, что ККВ и ПЦИ для рассмотренных молекул получены впервые. А. И. К.

III

(+11)

окт. 1989, № 6

PFCl₂

Он 30 981

1988

13 Б1071. Постоянные кориолисова взаимодействия и постоянные центробежного искажения пирамидальных молекул XYZ₂. Coriolis coupling constants and centrifugal distortion constants of some pyramidal XYZ₂ molecules / Mohan S., Durai S. // Proc. Indian Nat. Sci. Acad. A.— 1988.— 54, № 1.— С. 76—83.— Англ.

Для 9 смешанных галогенидов фосфора (PFCl₂, PFBr₂, PClF₂, PClBr₂, PBrF₂, PBrCl₂, PIF₂, PICl₂ и PIBr₂; точечная группа C_s) на основе ранее найденных силовых полей рассчитаны постоянные кориолисова взаимодействия и центробежного искажения (D_s, D_k, D_{IK}, R₅, R₆, δ_I). Приведены явные выражения для элементов кориолисовой матрицы и матрицы T Сивниа.

Ю. Н. Панченко

(48) 18

Х. 1989, N 13

PFC₂

1992

Igor Novak.

ионами, Phosph., Sulfur and
и атомами Silicon and Relat.
Kontakui Flem. 1992. 68, N 1-4.

C. 15-23

(_{cat.} PH₂F, III)